

**Решение**

1. Номер установки  $N = 26$ .

2. Измерим общую длину нити, намотанной на вал  $l = 78.8 \pm 0.1$  мм. Снимем зависимость ЭДС индукции от времени разматывания нити. Пересчитаем колонку времени разматывания в среднюю скорость движения грузиков.

| $t, \text{с}$ | $v, (\text{м}/\text{с})$ | $\varepsilon, \text{В}$ |
|---------------|--------------------------|-------------------------|
| 5.68          | 0.14                     | 1.43                    |
| 2.54          | 0.31                     | 3.21                    |
| 3.34          | 0.24                     | 2.44                    |
| 2.12          | 0.37                     | 4.17                    |
| 3.73          | 0.21                     | 2.11                    |

Построим график измеренной зависимости и найдем ее угловой коэффициент:

$$A = 11.73 \pm 0.15 \frac{\text{В} \cdot \text{с}}{\text{м}} \quad (1)$$

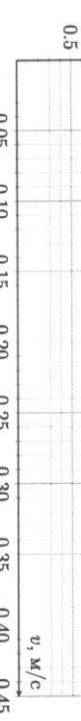
График зависимости  $\varepsilon$  от  $v$



Построим график исследованной зависимости. Как видно, полученный график МОЖНО описать линейной функцией, не проходящей через начало координат. Угловой коэффициент графика составляет:

$$B = 65.9 \pm 0.2 \text{ мА/Н} \quad (2)$$

График зависимости  $I$  от  $mg$



4. Так как ток, измеряемый амперметром, практически не меняется во время движения, то движение в пункте 2 происходит с примерно постоянной скоростью.

5. Приравнивая в отсутствие трения электрическую и механическую мощности, получаем, что теоретически произведение коэффициентов  $A$  и  $B$  должно равняться 1.

6. Расхождение полученных данных с теоретическим предположением связано с наличием трения в оси двигателя и редукторе. Чтобы рассчитать эффективный момент силы трения, из условия постоянства скорости залипия теоретическую связь момента силы тяжести  $M_{\text{тяж}}$  (силы насижения птицы), силы Ампера  $M_A$  внутри двигателя и силы трения  $M_{\text{тр}}$ :

$$M_{\text{тяж}} = M_A + M_{\text{тр}}. \quad (3)$$

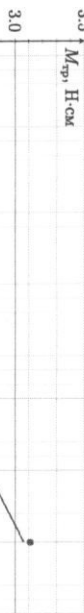
Таким образом, эффективный момент сил трения можно рассчитать, как:

$$M_{\text{тр}} = M_{\text{тяж}} - M_A = (mg - A)D/2, \quad (4)$$

где  $D = 5.10 \pm 0.05$  см - диаметр колеса.

Построим график зависимости момента сил трения от силы тяжести, действующей на грузы. Как видно, график не проходит через точку пересечения осей и является линейной функцией. То есть момент сил трения линейно возрастает с нагрузкой на двигатель и имеет постоянную составляющую.

График зависимости  $M_{\text{тр}}$  от  $mg$



8. Расчитаем эффективный момент сил трения, действующих на вал двигателя. Построим график полученной зависимости. В связи с тем, что точность измерений проводимых в предыдущем пункте, невысока, полученные данные могут отличаться. Точки, полученные в серии экспериментов, можно аппроксимировать линейной монотонно возрастающей функцией функцией, что свидетельствует об увеличении эффективного момента сил трения с увеличением скорости движения грузов.

График зависимости  $M_{\text{тр}}$  от  $v$



7. Подключим к моторчику реостат и при разных его сопротивлениях будем запускать движение трех грузиков, подвешенных на нитке к валу моторчика. Измерим набор величин: сопротивление реостата (не забудем вычесть сопротивление шупов мультиметра из показаний омметра), время движения трех грузов и напряжение на реостате. По полученным данным рассчитаем скорость движения грузов и силу тока, текущего через реостат.



9. На основе полученных данных можно построить эмпирическую модель зависимости момента силы трения от параметров установки:

$$M_{тр} = M_0 + \mu T + \nu(T)v, \quad (5)$$

где  $M_0$  - константа, описывающая момент силы трения в отсутствие нагрузки на ось двигателя и при очень малых скоростях движения,  $T$  - сила натяжения нити, намотанной на вал, на ее синусоидальном участке,  $\mu$  - коэффициент пропорциональности между моментом силы трения при малых скоростях и силой натяжения нити,  $\nu(T)$  - коэффициент пропорциональности между моментом силы трения и скоростью, скорее всего зависящий от нагрузки на вал двигателя (силы натяжения нити).